

# ФОТОЛЮМИНЕСЦЕНЦИЯ ИОНОВ $\text{Er}^{3+}$ В СЛОЯХ КВАЗИУПОРЯДОЧЕННЫХ КРЕМНИЕВЫХ НАНОКРИСТАЛЛОВ В МАТРИЦЕ ДИОКСИДА КРЕМНИЯ

*П. К. Каширов<sup>a\*</sup>, М. Г. Лисаченко<sup>a</sup>, О. А. Шалыгина<sup>a</sup>, В. Ю. Тимошенко<sup>a</sup>,  
Б. В. Каменев<sup>a,b</sup>, М. Шмидт<sup>c\*\*</sup>, Й. Хайтман<sup>c\*\*\*</sup>, М. Захарияс<sup>c\*\*\*\*</sup>*

<sup>a</sup> *Московский государственный университет им. М. В. Ломоносова, физический факультет  
119899, Москва, Россия*

<sup>b</sup> *Department of Electrical and Computer Engineering, New Jersey Institute of Technology University Heights Newark  
New Jersey 07102-1982, USA*

<sup>c</sup> *Max-Planck-Institut für Mikrostrukturphysik  
06120 Halle, Germany*

Поступила в редакцию 24 апреля 2003 г.

Исследованы спектры и кинетики фотолюминесценции нелегированных и легированных эрбием многослойных структур квазиупорядоченных кремниевых нанокристаллов в матрице диоксида кремния. Показано, что энергия оптического возбуждения нанокристаллов кремния может с высокой эффективностью передаваться ионам  $\text{Er}^{3+}$  с последующим излучением на длине волны 1.5 мкм. Эффективность передачи энергии возрастает с уменьшением размеров кремниевых нанокристаллов и с ростом энергии квантов возбуждающего света. Дано объяснение процесса возбуждения эрбиевой люминесценции в исследуемых структурах, основанное на диполь-дипольном взаимодействии (механизм Ферстера) между экситонами в кремниевых нанокристаллах и ионами  $\text{Er}^{3+}$  в окружающем их диоксиде кремния.

PACS: 78.67.-п, 78.66.Sq

## 1. ВВЕДЕНИЕ

Исследование люминесценции ионов эрбия  $\text{Er}^{3+}$  в кристаллическом и аморфном кремнии в последние годы уделяется большое внимание (см., например, сборники [1, 2]). Это вызвано потребностью создания кремниевых устройств, эффективно излучающих на длине волны 1.5 мкм (переходы  $^4I_{13/2} \rightarrow ^4I_{15/2}$  во внутренней  $4f$ -оболочке ионов  $\text{Er}^{3+}$ ), соответствующей максимуму пропускания волоконных линий связи. Однако целый ряд нерешенных проблем пока не позволяет создать желанный оптоэлектронный прибор. Так, например, при использовании в качестве матрицы для  $\text{Er}^{3+}$  кристаллического кремния (c-Si) наблюдается сильное

температурное гашение эрбиевой люминесценции, обусловленное безызлучательным девозбуждением ионов  $\text{Er}^{3+}$  вследствие обратной передачи энергии к матрице [3]. В результате при комнатной температуре квантовый выход люминесценции образцов c-Si:Er оказывается весьма низким. Для легированного эрбием аморфного гидрогенизированного кремния (a-Si:H) температурное гашение люминесценции на длине волны 1.5 мкм значительно меньше [4]. Анализ временных зависимостей (кинетик) фотолюминесценции ионов  $\text{Er}^{3+}$  в a-Si:H показал, что энергия электронно-дырочных пар передается ионам за достаточно короткие (субмикросекундные) времена, что обеспечивает высокую эффективность их возбуждения [5–7]. Однако вследствие наличия различных каналов безызлучательных потерь энергии интенсивность эрбиевой люминесценции в a-Si:H( $\text{Er}$ ) пока недостаточна для применения данного материала в светоизлучающих устройствах.

\*E-mail: pavel@vega.phys.msu.su

\*\*M. Schmidt

\*\*\*J. Heitmann

\*\*\*\*M. Zacharias

Для преодоления указанных трудностей привлекательными представляются помещенные в диэлектрическую матрицу слои кремниевых нанокристаллов (nc-Si), легированных эрбием [8–11]. Необходимо отметить, что хотя длина волны эрбийевой люминесценции практически не зависит от природы матрицы вследствие экранировки «рабочей»  $4f$ -оболочки  $\text{Er}^{3+}$  внешними электронными оболочками, эффективностью возбуждения ионов можно управлять, меняя свойства матрицы, например, ширину ее запрещенной зоны и/или плотность электронных состояний дефектов и примесей в ней [1, 3]. Это легко достигается в nc-Si-структурах, поскольку ширина запрещенной зоны нанокристаллов может быть управляема при изменении их размеров [12, 13]. Помимо этого в нанокристаллах Si одновременно могут реализоваться как хорошая локализация носителей заряда в малых пространственных областях вблизи ионов  $\text{Er}^{3+}$ , так и достаточно большие (сотни микросекунд) времена жизни электронного возбуждения [12, 13]. В этом случае энергия, освобождаемая при рекомбинации фотовозбужденной электрон-дырочной пары, может эффективно передаваться иону  $\text{Er}^{3+}$ . Действительно, для легированных эрбием слоев nc-Si в матрице  $\text{SiO}_2$  даже при комнатной температуре наблюдается интенсивная и стабильная фотoluminesценция ионов  $\text{Er}^{3+}$  [9, 10]. При этом эффективность фотoluminesценции и ее времена жизни сильно зависят от технологии получения структур nc-Si/ $\text{SiO}_2$ , а также от размеров нанокристаллов [9]. В этой связи перспективными представляются слои квазиупорядоченных кремниевых нанокристаллов в многослойных структурах nc-Si/ $\text{SiO}_2$ , характеризующихся высокой степенью контролируемости размеров нанокристаллов и расстояний между ними [11].

В данной работе выполнено сравнительное исследование спектров и кинетики фотoluminesценции многослойных структур nc-Si/ $\text{SiO}_2$ , легированных эрбием и не содержащих данную примесь, что позволило количественно оценить эффективность передачи энергии электронного возбуждения кремниевых нанокристаллов различных размеров ионам  $\text{Er}^{3+}$ , расположенным в окружающем диокside кремния.

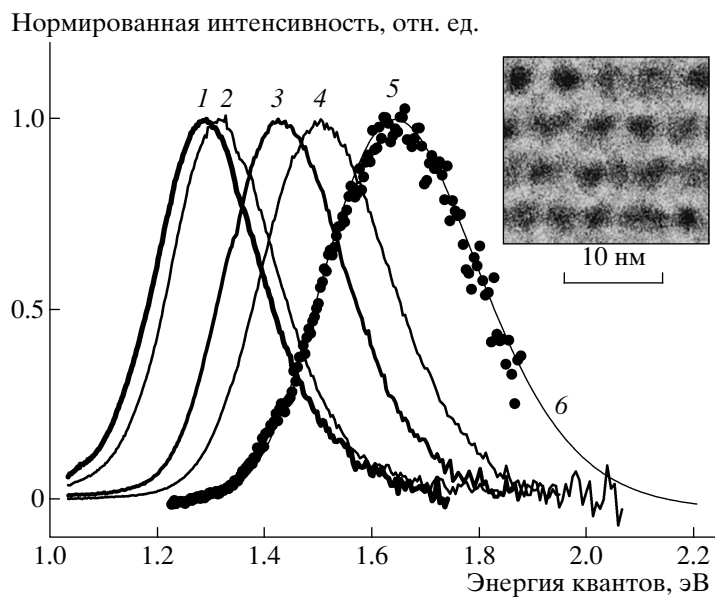
## 2. ОБРАЗЦЫ И МЕТОДИКА ЭКСПЕРИМЕНТА

Исследуемые в работе образцы были изготовлены на основе сверхрешеток из аморфных слоев

$\text{SiO}/\text{SiO}_2$ , сформированных последовательным нанесением слоев  $\text{SiO}$  и  $\text{SiO}_2$  на подложку c-Si методом реактивного распыления [10, 11]. Толщины слоев  $\text{SiO}$  варьировались от 2 до 6 нм,  $\text{SiO}_2$  — от 2 до 4 нм. Структуры состояли из 30–50 пар слоев при общей толщине 200–300 нм. Образцы были подвергнуты термическому отжигу при температуре 1100 °C в атмосфере азота в течение 60 мин. Такая процедура привела к формированию слоев плотно расположенных квазиупорядоченных нанокристаллов Si, разделенных слоями  $\text{SiO}_2$  [11]. Согласно данным электронной микроскопии (см. вставку на рис. 1) и рентгеновской дифракции сформированные нанокристаллы имели средние размеры  $d$ , близкие к толщине исходных слоев  $\text{SiO}$ . Дисперсия размеров нанокристаллов  $\delta d$  составляла около 0.5 нм. В часть сформированных структур были имплантированы ионы  $\text{Er}^{3+}$  с энергией 300 кэВ и дозами  $5 \cdot 10^{14}$  и  $2 \cdot 10^{15} \text{ см}^{-2}$ . Аналогичные дозы ионов были также имплантированы в однородные слои аморфного  $\text{SiO}_2$  толщиной 250 нм. Данные аморфные слои использовались для сравнения при исследовании нанокристаллических структур. После имплантации все образцы подвергались дополнительному термическому отжигу при температуре 950 °C в течение времени от 5 мин до 1 ч для устранения радиационных дефектов. Средняя концентрация атомов Er в подготовленных образцах,  $N_{\text{Er}}$ , рассчитанная с учетом среднего проецируемого пробега  $R_p$  ионов Er в матрице  $\text{SiO}_2$  (для ионов с энергией 300 кэВ  $R_p \approx 120$  нм) и разброса среднего проецируемого пробега,  $\Delta R_p \approx 40$  нм, а также экспериментального факта отсутствия существенного размытия профиля имплантированных частиц после термического отжига [14], составляла  $10^{19} \text{ см}^{-3}$  и  $4 \cdot 10^{19} \text{ см}^{-3}$ , соответственно, для меньшей и большей используемых доз имплантации. Концентрация нанокристаллов Si в исследуемых структурах nc-Si/ $\text{SiO}_2$  имела по данным просвечивающей электронной микроскопии порядок  $10^{19} \text{ см}^{-3}$  [11].

Для возбуждения фотoluminesценции использовались следующие лазеры: импульсный  $\text{N}_2$ -лазер (энергия квантов  $\hbar\omega_1 = 3.7$  эВ, длительность импульса  $\tau \sim 10$  нс, энергия в импульсе  $E \leq 1$  мкДж, частота следования импульсов  $\nu \sim 100$  Гц), импульсный лазер на парах меди ( $\hbar\omega_2 = 2.4$  эВ,  $\hbar\omega_3 = 2.1$  эВ,  $\tau \sim 20$  нс,  $E \leq 10$  мкДж,  $\nu \sim 12$  кГц), непрерывный He–Ne-лазер ( $\hbar\omega_4 = 1.96$  эВ, мощность излучения до 10 мВт). Лазерное излучение фокусировалось на образце в пятно диаметром 1.5 мм.

Спектры фотoluminesценции регистрировались автоматизированным спектрометром, дополненным



**Рис. 1.** Спектры фотолюминесценции образцов со средними размерами нанокристаллов  $d = 6$  (1), 5 (2), 4 (3), 3 (4), 2 (5) нм при возбуждении излучением с  $\hbar\omega_1 = 3.7$  эВ при  $T = 300$  К. Кривая 6 — аппроксимация функцией Гаусса спектра 5. На вставке: полученное с помощью электронной микроскопии изображение структуры nc-Si/SiO<sub>2</sub> с  $d = 3.5$  нм

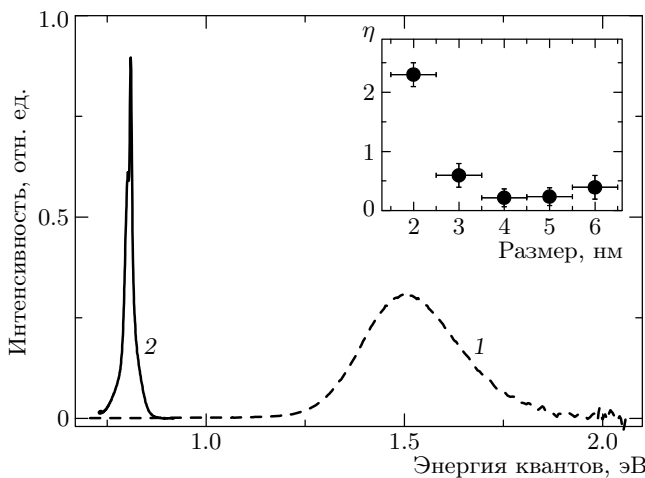
InGaAs-фотодиодом. Измеренные спектры корректировались на спектральный отклик системы. Спектры фотолюминесценции измерялись с разрешением около 2 нм в режиме прямого тока без использования фазочувствительной техники. Для измерения кинетики фотолюминесценции в видимой области спектра использовался ФЭУ с постоянной времени порядка 30 нс, в инфракрасной области спектра использовался InGaAs-фотодиод с постоянной времени около 1 мкс. Ввиду недостаточной чувствительности последнего он применялся только при записи начального участка кинетики, причем интегральная интенсивность фотолюминесценции регистрировалась в диапазоне 1.1–1.6 мкм. Долговременные компоненты релаксации фотолюминесценции изменились более чувствительным InGaAs-фотодиодом с постоянной времени 0.5 мс. Спектральное разрешение при выполнении данных экспериментов составляло 2 нм.

Большая часть экспериментов по регистрации спектров и кинетик фотолюминесценции проводилась на воздухе при температуре 300 К. Ряд спектров фотолюминесценции был также измерен в вакууме в диапазоне температур 6–450 К, для чего использовался гелиевый криостат замкнутого цикла DE-204N (Advanced Research Systems).

### 3. РЕЗУЛЬТАТЫ И ИХ ОБСУЖДЕНИЕ

#### 3.1. Спектры фотолюминесценции при комнатной температуре

Нелегированные структуры nc-Si/SiO<sub>2</sub> при возбуждении светом с энергией квантов  $\hbar\omega_1$  характеризовались достаточно интенсивной фотолюминесценцией с внешним квантовым выходом в диапазоне 0.1–1% при  $T = 300$  К. На рис. 1 показаны нормированные спектры фотолюминесценции образцов с различными размерами кремниевых нанокристаллов  $d$ . Видно, что с уменьшением  $d$  происходит сдвиг максимума полосы фотолюминесценции в сторону больших энергий квантов. Такой сдвиг обычно связывают с ростом ширины запрещенной зоны в нанокристаллах вследствие квантового размерного эффекта, а саму полосу приписывают излучательной рекомбинации экситонов в nc-Si [11–13]. Спектры фотолюминесценции обладают достаточно большой шириной полосы, величина которой на половине высоты возрастает с 0.23 до 0.34 эВ при уменьшении средних размеров нанокристаллов с 6 до 2 нм. Уширение спектра фотолюминесценции с уменьшением  $d$ , вероятно, связано с возрастанием величины флюктуаций ширины запрещенной зоны нанокристаллов при увеличении параметра  $\delta d/d$ . Дополнительным источником уширения полосы экситонной фотолю-



**Рис. 2.** Спектры фотолюминесценции нелегированных (1) и легированных эрбием (2) образцов ( $d = 3$  нм) при возбуждении излучением с  $\hbar\omega_1 = 3.7$  эВ. На вставке: зависимость коэффициента передачи  $\eta$ , полученного интегрированием спектров фотолюминесценции, от размера нанокристаллов;  $T = 300$  К

минесценции в nc-Si может, на наш взгляд, являться взаимодействие экситонов с фононами кремния и окружающего  $\text{SiO}_2$ . Действительно, даже для изолированных кремниевых квантовых точек в матрице  $\text{SiO}_2$  наблюдаются полосы фотолюминесценции шириной 0.12–0.15 эВ [14].

Внедрение в образцы ионов эрбия приводило к значительному (~100 раз) подавлению экситонной фотолюминесценции и появлению интенсивной полосы в области 0.81 эВ (рис. 2). Последняя характерна для внутрицентровых переходов  $^4I_{13/2} \rightarrow ^4I_{15/2}$  в ионах  $\text{Er}^{3+}$ , внедренных в твердотельную матрицу [1, 2]. Ионы  $\text{Er}^{3+}$  образуются при переходе их электронов в связанное состояние в  $\text{SiO}_2$ , что типично для всех лантаноидов в диэлектрической матрице. При этом эрбий отдает свои электроны соседним атомам кислорода или дефектам с образованием ионной связи.

Гашение экситонной фотолюминесценции и появление эрбьевой полосы фиксировалось для всех исследованных структур. В то же время однородные слои  $a\text{-SiO}_2:\text{Er}^{3+}$  характеризовались крайне малоэффективной фотолюминесценцией в области 0.8 эВ. Это свидетельствует о том, что возбуждение  $\text{Er}^{3+}$  происходит не путем прямого поглощения светового кванта, а благодаря обмену энергией с матрицей, поглотившей фотон.

Учитывая соотношение между интенсивностями

фотолюминесценции легированных эрбием и нелегированных структур, можно говорить о передаче большой части поглощенной нанокристаллами энергии оптически активным ионам  $\text{Er}^{3+}$ . В качестве количественной характеристики эффективности передачи энергии удобно брать отношение (в дальнейшем называемое коэффициентом передачи)  $\eta = \tilde{I}_{\text{Er}}/\tilde{I}_{nc}$ , где

$$\tilde{I}_{\text{Er}} = \int \frac{I_{\text{Er}}(\nu)}{\nu} d\nu, \quad \tilde{I}_{nc} = \int \frac{I_{nc}(\nu)}{\nu} d\nu. \quad (1)$$

Здесь  $I_{\text{Er}}(\nu)$  — спектры фотолюминесценции образцов с эрбием,  $I_{nc}(\nu)$  — без эрбия. Интегрирование ведется в соответствующих спектральных областях эрбьевой (0.75–0.85 эВ) и экситонной (1.1–2.0 эВ) полос фотолюминесценции.

На вставке рис. 2 приведен коэффициент передачи  $\eta$  для структур с различными размерами нанокристаллов и фиксированной средней концентрацией ионов  $N_{\text{Er}} \approx 4 \cdot 10^{19} \text{ см}^{-3}$ . Видно, что значение  $\eta$  лежит в интервале 0.3–0.4 для структур с  $d = 4\text{--}6$  нм и значительно возрастает для образцов с меньшими размерами нанокристаллов. Для структур с  $d = 2$  нм величина  $\eta$  превышает 2. Это означает испускание структурой nc-Si/ $\text{SiO}_2$ :  $\text{Er}$  в два раза большего числа квантов фотолюминесценции, по сравнению с нелегированным образцом при том же уровне оптического возбуждения. Это указывает на то, что введение ионов  $\text{Er}^{3+}$  создает дополнительный эффективный канал излучательной (на длине волны 1.5 мкм) релаксации энергии оптического возбуждения, конкурирующий с безызлучательной рекомбинацией в исследуемых структурах.

Эксперименты показали, что значение параметра  $\eta$  увеличивается с ростом энергии квантов света, используемого для возбуждения фотолюминесценции (рис. 3). Это не может быть объяснено ростом коэффициента поглощения nc-Si, поскольку такой фактор должен действовать одинаково для легированных и нелегированных образцов и, следовательно, практически исключаться при анализе  $\eta$ . Наблюдаемый рост величины  $\eta$  при использовании высокоэнергетических квантов накачки может быть связан с вкладом высокоэнергетических состояний экситонов при передаче энергии ионам  $\text{Er}^{3+}$ . Следует также отметить, что для структур с меньшими размерами нанокристаллов абсолютная величина  $\eta$  больше, и ее рост с увеличением энергии квантов возбуждения сильнее (зависимость 1 на рис. 3). Этот факт также указывает на вовлеченность высокоэнергетических состояний экситонов в процесс возбуждения ионов  $\text{Er}^{3+}$ .

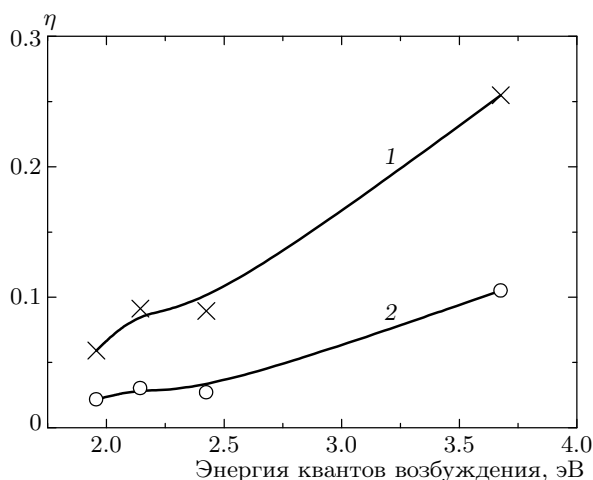


Рис. 3. Зависимость коэффициента передачи  $\eta$  от энергии квантов возбуждения для структур с  $d = 2.5$  (1),  $3.5$  (2) нм при  $T = 300$  К

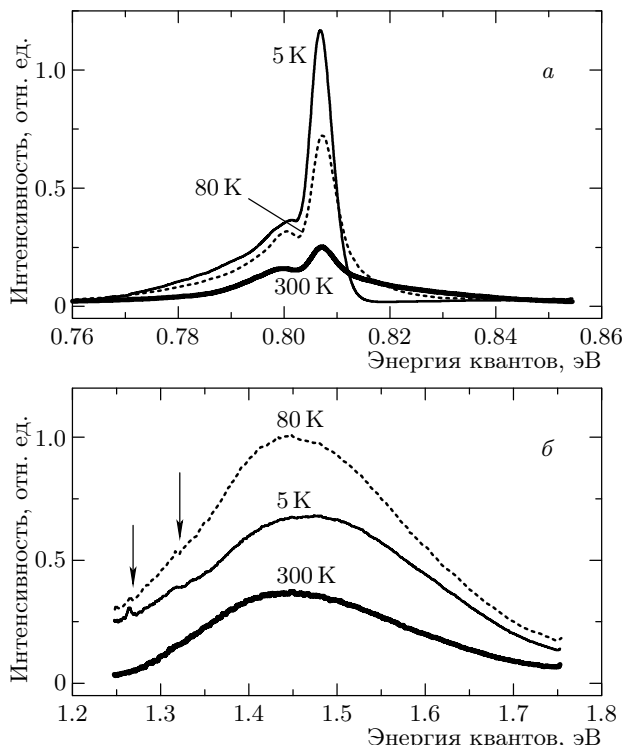


Рис. 4. Спектры фотолюминесценции легированного эрбием образца с  $d = 3.5$  нм в области свечения ионов  $\text{Er}^{3+}$  (а) и нанокристаллов (б) при различных температурах

### 3.2. Температурная зависимость спектров фотолюминесценции

Спектры фотолюминесценции легированных эрбием структур при различных температурах пред-

ставлены на рис. 4. С понижением температуры наблюдается рост интенсивности в максимуме полосы при энергии фотона 0.81 эВ (рис. 4а). При этом происходит подавление коротковолнового края спектра, что связано с уменьшением заселенности верхних состояний в тонкой структуре уровней энергии иона  $\text{Er}^{3+}$ . Общая ширина линии при этом уменьшается. Изменения положения максимумов спектральных полос в пределах точности измерений не фиксировались.

На рис. 4б приведены спектры экситонной фотолюминесценции в легированных эрбием структурах. Как уже отмечалось, интенсивность этой фотолюминесценции почти на два порядка слабее, чем для соответствующей полосы в нелегированных образцах. С изменением температуры наблюдалось немонотонное поведение интенсивности экситонной фотолюминесценции, при этом форма ее спектра претерпевала определенные изменения. Наиболее заметными они были при гелиевых температурах, когда в спектрах появлялись особенности в виде узкой линии с энергией 1.26 эВ и одновременно области частичного подавления широкой полосы фотолюминесценции в области энергий от 1.26 до 1.33 эВ. Известно, что энергия 1.26 эВ соответствует переходу  $^4I_{11/2} \rightarrow ^4I_{15/2}$  в ионе  $\text{Er}^{3+}$ . Появление этой линии в спектрах эрбийевой фотолюминесценции, возбуждаемой непрямым образом, свидетельствует о передаче возбуждения на уровни в ионах, расположенные еще выше.

Особенности в виде частичного подавления низкотемпературной фотолюминесценции в диапазоне от 1.26 до 1.33 эВ могут быть приписаны переносу энергии от экситонов в nc-Si на второе возбужденное состояние ионов  $\text{Er}^{3+}$ . Данный процесс может сопровождаться эмиссией кремниевых фононов, максимальная энергия которых соответствует, как известно, энергии  $E_{\Gamma(0)} \approx 64$  мэВ. Области наиболее сильного подавления экситонной фотолюминесценции (стрелки на рис. 4б) отстоят от значения энергии 1.26 эВ именно на такой энергетический интервал. Дополнительный вклад в передачу энергии от нанокристаллов ионам  $\text{Er}^{3+}$  могут давать процессы с эмиссией фононов, соответствующих колебательному возбуждению связи O–Si–O (около 140 мэВ). Наложением процессов с испусканием фононов различных типов и энергий, а также модификацией фононного спектра в малых нанокристаллах, вероятно, объясняется в целом слабо выраженная тонкая структура областей гашения фотолюминесценции. Кроме того, необходимо отметить, что вклад связанных с фононами особенностей в общий уровень гашения экситонной фотолюминесценции составля-

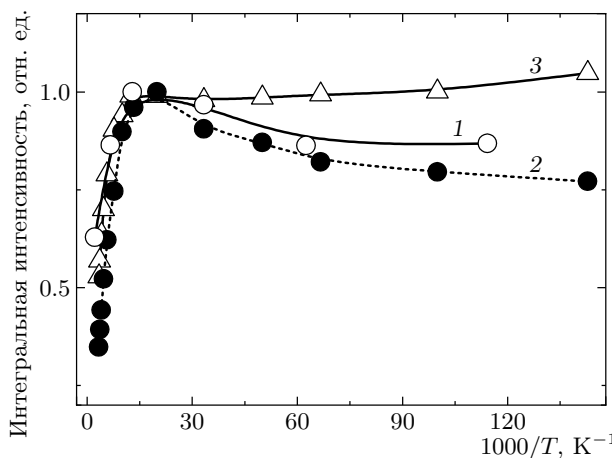


Рис. 5. Зависимости интегральных по спектру интенсивностей фотолюминесценции кремниевых нанокристаллов с  $d = 3.5$  нм в образцах nc-Si/SiO<sub>2</sub> (1), nc-Si/SiO<sub>2</sub>:Er (2) и эрбьевой полосы в образце nc-Si/SiO<sub>2</sub>:Er (3) от обратной температуры

ет менее 0.1 %. Это указывает на наличие гораздо более сильного механизма передачи энергии от экситонов ионам Er<sup>3+</sup>. Аналогичный вывод о наличии эффективного бесфононного механизма взаимодействия между экситонами и Er<sup>3+</sup> можно также сделать по данным работы [9], где впервые наблюдались кратные фононным частотам провалы в спектре низкотемпературной фотолюминесценции легированных эрбием структур с nc-Si.

Обсудим температурные зависимости эффективности фотолюминесценции в исследуемых образцах. На рис. 5 приведены значения интегралов  $\tilde{I}_{\text{Er}}$  и  $\tilde{I}_{nc}$  в зависимости от обратной температуры. Видно, что понижение температуры от 300 К до 60 К приводит к росту (в 2–3 раза) выхода фотолюминесценции как для нелегированных, так и для легированных эрбием образцов. Интересным является тот факт, что в данном температурном интервале обе полосы фотолюминесценции ведут себя похожим образом. По-видимому, при понижении температуры происходит подавление безызлучательного канала рекомбинации электрон-дырочных пар на дефектах (например, оборванных связях кремния). Это приводит к возрастанию концентрации экситонов, а следовательно, к росту выхода экситонной фотолюминесценции в нелегированных образцах и к повышению темпа возбуждения Er<sup>3+</sup> при взаимодействии с экситонами в легированных эрбием структурах. Отметим, что температурная зависимость экситонной фотолюминесценции является более сильной для легированных (зависимость 2), чем для нелегированных

(зависимость 1) структур. Данный результат вполне понятен, если принять во внимание, что не все радиационные дефекты могли быть удалены в результате послеимплантационного отжига.

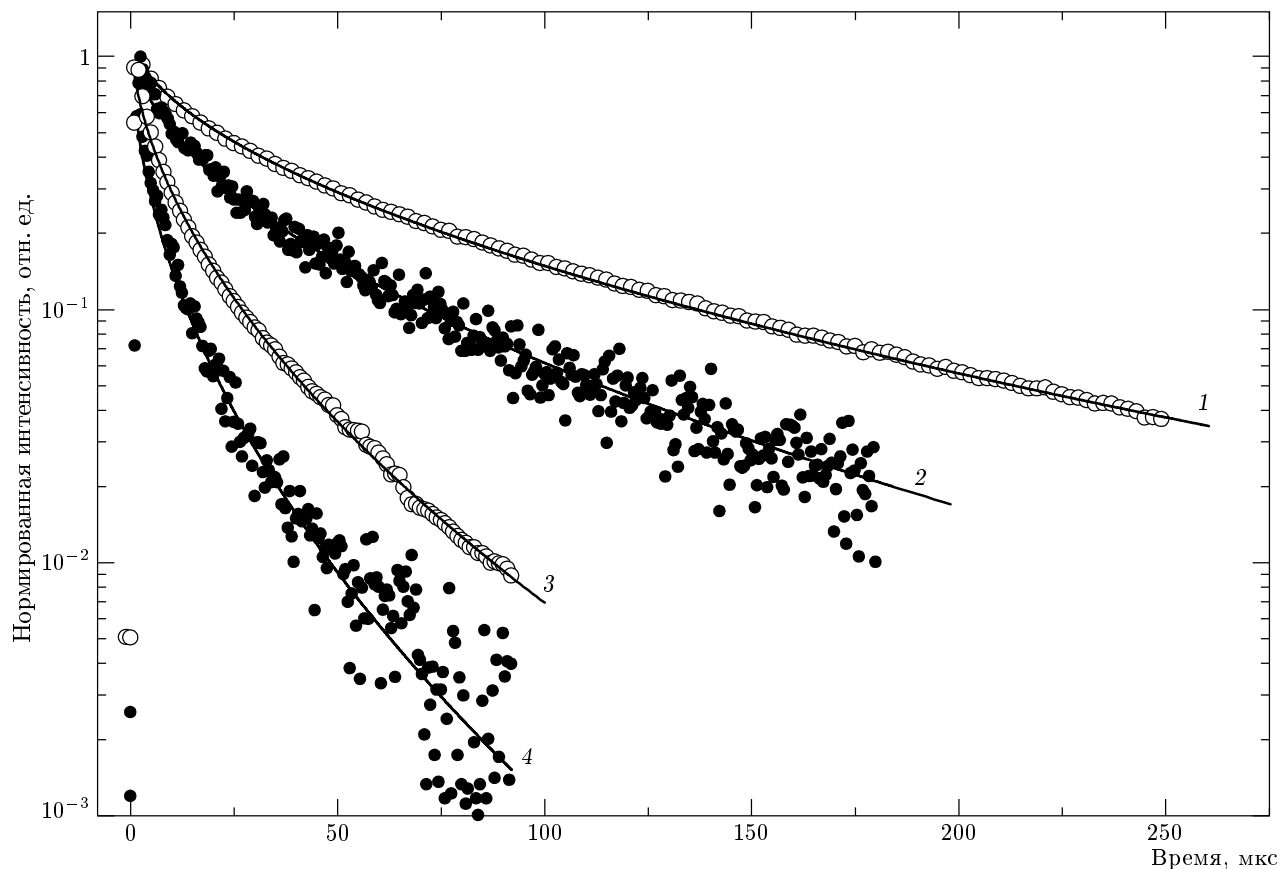
Как видно на рис. 5, в интервале температур от 60 до 10 К величина  $\tilde{I}_{\text{Er}}$  (зависимость 3) практически не изменяется, а при дальнейшем понижении температур даже увеличивается. Такое поведение указывает, во-первых, на достаточно хорошую изолированность основной части ионов по отношению к процессам обратной передачи энергии в матрицу. Во-вторых, при гелиевых температурах дополнительный вклад в эрбьевую фотолюминесценцию могут давать ионы, слабо связанные с nc-Si или, напротив, расположенные непосредственно внутри нанокристаллов Si. В последнем случае с понижением  $T$  будет происходить уменьшение вероятности обратной передачи энергии иона в матрицу, как это наблюдается, например, в c-Si:Er [1, 2].

Величина  $\tilde{I}_{nc}$  (зависимости 1 и 2 на рис. 5) убывает с понижением температуры. Это можно объяснить переходом экситонов в энергетически более выгодное триплетное состояние, характеризующееся значительно большим временем излучательной рекомбинации [13]. В результате при фиксированном темпе безызлучательной рекомбинации выход фотолюминесценции убывает. Более заметное снижение  $\tilde{I}_{nc}$  для образцов с эрбием при  $T < 60$  К вполне понятно, поскольку ионы Er<sup>3+</sup> являются центрами гашения экситонной фотолюминесценции. Учитывая, что в структурах с эрбием вклад в экситонную фотолюминесценцию дает лишь небольшое число нанокристаллов (примерно 1 %), которые относительно слабо взаимодействуют с ионами, можно сделать вывод, что с понижением температуры их взаимодействие усиливается. Это, очевидно, связано с увеличением времен жизни экситонов, переходящих в триплетное состояние при гелиевых температурах.

### 3.3. Кинетики фотолюминесценции

На рис. 6 показаны несколько типичных кинетик релаксации интенсивности экситонной фотолюминесценции в нелегированных и легированных эрбием структурах nc-Si/SiO<sub>2</sub> после воздействия лазерного импульса. Видно, что указанные кинетики не являютсяmonoэкспоненциальными зависимостями, однако они могут быть хорошо аппроксимированы так называемой «растянутой» экспонентой:

$$I_{PL}(t) = I_0 \exp [-(t/\tau_0)^\beta], \quad (2)$$



**Рис. 6.** Кинетики фотолюминесценции образцов nc-Si/SiO<sub>2</sub> (1, 3) и nc-Si/SiO<sub>2</sub>:Er (2, 4), измеренные для энергий квантов 1.49 эВ (1, 2) и 1.97 эВ (3, 4). Экспериментальные значения даны точками, аппроксимации по формуле (2) — линиями

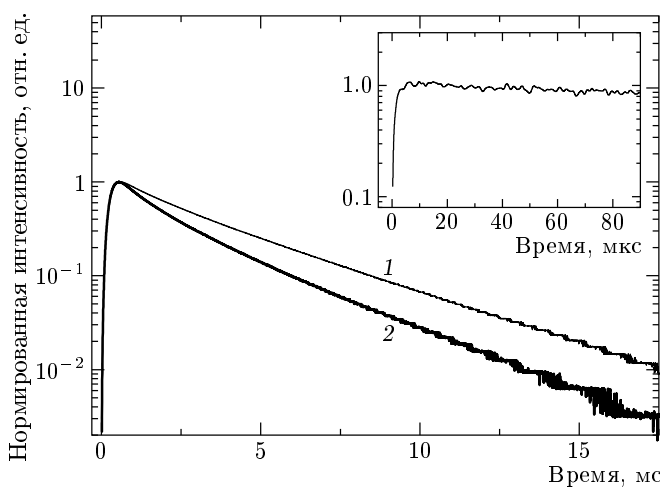
где  $\tau_0$  — среднее время,  $\beta$  — параметр неэкспоненциальности. Заметим, что фотолюминесценция с кинетикой, описываемой формулой (2), обычно наблюдается для неупорядоченных твердотельных систем, характеризующихся дисперсией значений времен рекомбинации, например, для a-Si:H [5–7] и пористого кремния [13].

Анализ кинетик фотолюминесценции нелегированных структур показал, что значение параметра  $\tau_0$  возрастает от единиц до десятков микросекунд при изменении энергии квантов фотолюминесценции от 2 до 1.5 эВ. При этом параметр  $\beta$  сохраняет практически неизменное значение около 0.5. Для структур с эрбием наблюдается уменьшение времени  $\tau_0$  примерно в 2–2.5 раза, тогда как величина  $\beta$  практически не меняется. Постоянство параметра  $\beta$  указывает на слабое влияние электронных состояний ионов  $\text{Er}^{3+}$  и связанных с ними дефектов на дисперсию параметров рекомбинации.

Тот факт, что после внедрения ионов  $\text{Er}^{3+}$  наблю-

дается гашение интенсивности экситонной фотолюминесценции на 2 порядка, а средние времена жизни фотолюминесценции уменьшаются всего лишь в 2 раза, свидетельствует в пользу уже высказанного предположения о том, что в легированных образцах большая часть нанокристаллов Si практически не дает вклада в свечение в диапазоне 1.2–1.8 эВ. Это обусловлено полной передачей ими энергии ионам с последующим высыпыванием в области 0.81 эВ. В то же время менее 1% оставшихся нанокристаллов характеризуются временами фотолюминесценции, которые сокращены взаимодействием с ионами  $\text{Er}^{3+}$ . Сокращение времен возможно также вследствие процессов безызлучательной рекомбинации на дефектах, обусловленных введением  $\text{Er}^{3+}$ . Однако отсутствие сильного температурного гашения фотолюминесценции в исследуемых образцах свидетельствует о невысокой концентрации таких дефектов.

На рис. 7 приведены кинетики релаксации фотолюминесценции ионов  $\text{Er}^{3+}$ , измеренные для об-



**Рис. 7.** Кинетики фотолюминесценции ионов  $\text{Er}^{3+}$  в образцах nc-Si/SiO<sub>2</sub>:Er с  $d = 2$  (1) и 6 (2) нм (временное разрешение 0.5 мс). На вставке показан начальный участок кинетики, измеренный с временным разрешением 1 мкс. Возбуждение светом с  $\hbar\omega_1 = 3.7$  эВ;  $T = 300$  К

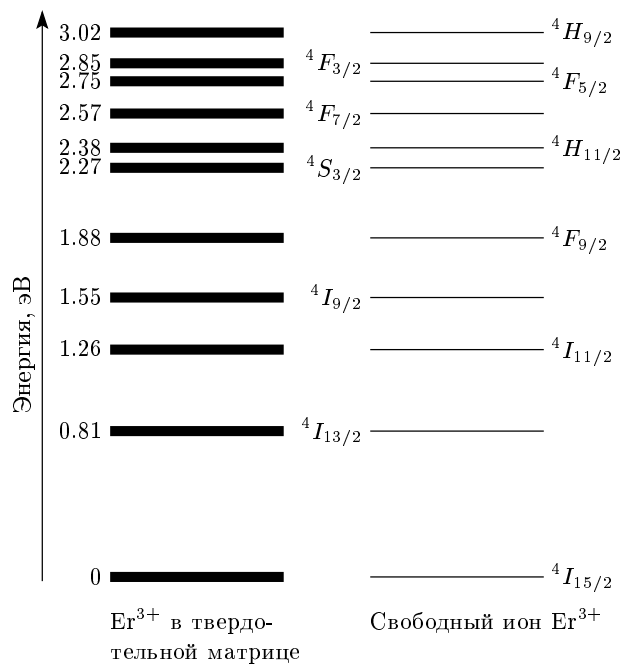
разцов с различными размерами нанокристаллов. Видно, что эрбьевая фотолюминесценция характеризуется практически экспоненциальной кинетикой. Аналогичные зависимости наблюдались для всех исследованных образцов. Среднее время релаксации фотолюминесценции ионов эрбия  $\tau_0$ , полученное аппроксимацией экспериментальных кривых экспонентой, уменьшается от 3.4 мс до 2.2 мс с увеличением размеров нанокристаллов от 2 нм до 6 нм. Столь большие времена релаксации характерны для собственного излучательного времени жизни ионов  $\text{Er}^{3+}$ , и, например, для случая c-Si:Er они наблюдаются только при температурах жидкого гелия, когда подавлены процессы девозбуждения [1, 2]. Наблюдаемое в наших экспериментах некоторое укорочение времени жизни эрбьевой фотолюминесценции при увеличении размеров nc-Si может быть объяснено ростом влияния локальных электрических полей. В диэлектрически неоднородной матрице, которой является структура nc-Si/SiO<sub>2</sub>, дополнительные электрические поля могут возникать благодаря зарядам изображения, наведенным на границах разделя участков среды с различными диэлектрическими проницаемостями. Чем больше размеры неоднородностей, тем в более сильном поле оказывается ион эрбия, его электронные  $f$ -орбитали дополнительно искажаются, что приводит к увеличению матричного дипольного элемента перехода между первым возбужденным и основным состоянием  $\text{Er}^{3+}$ . Времена

фотолюминесценции при этом должны укорачиваться.

Начальный участок кинетики эрбиевой фотолюминесценции, измеренный с микросекундным временным разрешением представлен на вставке рис. 7. Видно, что времена нарастания фотолюминесценции ионов  $\text{Er}^{3+}$  не превышают 5 мкс, что заметно короче времен релаксации полосы фотолюминесценции nc-Si. Это подтверждает сделанное выше предположение о высокой эффективности передачи энергии от нанокристаллов к ионам  $\text{Er}^{3+}$ .

### 3.4. Механизм возбуждения эрбиевой фотолюминесценции

Наиболее вероятной причиной возбуждения ионов  $\text{Er}^{3+}$  в исследуемых структурах является передача энергии электронного возбуждения (экцитона) в nc-Si к иону по механизму резонансного диполь-дипольного взаимодействия (механизм Ферстера) [16]. При этом возбужденными оказываются высокорасположенные энергетические состояния  $\text{Er}^{3+}$ , уровни которых могут быть значительно уширены вследствие флукутаций электрических полей в данной твердотельной матрице (рис. 8). С учетом того, что в исследуемых структурах нанокристаллы



**Рис. 8.** Схематичная диаграмма электронных состояний свободного и помещенного в твердотельную матрицу иона  $\text{Er}^{3+}$

расположены в оксидной матрице с высокой плотностью ( $\geq 10^{19} \text{ см}^{-3}$ ) и вследствие этого разделены барьерами толщиной всего 1–3 нм, такой механизм передачи энергии от нанокристаллов к находящимся в матрице ионам представляется вполне вероятным. Тем более такой процесс возможен в случае, если ион  $\text{Er}^{3+}$  расположен непосредственно в нанокристалле или на его поверхности.

В структурах, имеющих нанокристаллы с  $d = 2\text{--}3$  нм, эффективность возбуждения эрбиевой фотолюминесценции при передаче энергии от экситонов значительно возрастает (см. рис. 2). Спектр экситонной фотолюминесценции таких структур (рис. 1) располагается в области переходов с четвертого ( ${}^4F_{9/2}$ ), третьего ( ${}^4I_{9/2}$ ) и второго ( ${}^4I_{11/2}$ ) возбужденных состояний на основной уровень ( $4I_{15/2}$ ) в ионе  $\text{Er}^{3+}$  (рис. 8). Это приводит к увеличению интеграла перекрытия спектра испускания кремниевых нанокристаллов (доноров энергии) и спектра поглощения ионов (акцепторов энергии), что увеличивает вероятность переноса энергии в механизме Ферстера [16].

#### 4. ЗАКЛЮЧЕНИЕ

Изучены люминесцентные свойства многослойных структур nc-Si/SiO<sub>2</sub>. Показано, что энергия, поглощенная в нанокристаллах Si, может с высокой эффективностью передаваться расположенным в окружающем оксиде ионам  $\text{Er}^{3+}$  с последующим высыпыванием в области 1.5 мкм. Эффективность переноса энергии увеличивается с ростом энергии квантов накачки и уменьшением размеров нанокристаллов. Данные зависимости объясняются эффективным диполь–дипольным резонансным взаимодействием между экситонами в кремниевых нанокристаллах и возбужденными состояниями ионов  $\text{Er}^{3+}$  в окружающем нанокристаллы SiO<sub>2</sub>. При гелиевых температурах наблюдается дополнительное увеличение интенсивности эрбиевой фотолюминесценции, связанное с вкладом нерезонансных процессов с участием фононов, а также, возможно, с температурно-зависимым вкладом эрбьевых центров внутри нанокристаллов Si. Установлено, что в структурах с нанокристаллами диаметром 2 нм даже при комнатной температуре возможна настолько сильная связь экситонов с ионами  $\text{Er}^{3+}$ , что это приводит к повышению полного выхода излучательной рекомбинации по сравнению с нелегированными образцами. Высокая эффективность возбуждения эрбиевой фотолюминесценции,

достигаемая при комнатных температурах, на наш взгляд, может представлять практический интерес при разработке оптических усилителей и светоизлучающих устройств в диапазоне 1.5 мкм.

Работа выполнена при финансовой поддержке CRDF (грант № RE2-2369), РФФИ (гранты №№ 02-02-17259, 03-02-16647), программ Минпромнауки РФ.

#### ЛИТЕРАТУРА

1. G. S. Pomrenke, P. B. Klein, and D. W. Langer, Mat. Res. Soc. Symp., MRS, Pittsburgh (1993), Vol. 301.
2. K. Iga and S. Kinoshita, *Progress Technology for Semiconductors Lasers*, Springer Ser. in Mater Sci., Springer-Verlag, Berlin (1996), Vol. 30.
3. F. Priolo, G. Franzo, S. Coffa et al., J. Appl. Phys. **78**, 3874 (1995).
4. W. Fuhs, I. Ulber, G. Weiser et al., Phys. Rev. B **56**, 9545 (1997).
5. E. A. Konstantinova, B. V. Kamenev, P. K. Kashkarov et al., J. Non-Cryst. Sol., **282**, 321 (2001).
6. B. V. Kamenev, V. Yu. Timoshenko, E. A. Konstantinova et al., J. Non-Crystall. Sol. **299**, 668 (2002).
7. B. V. Kamenev, V. I. Emel'yanov, E. A. Konstantinova et al., Appl. Phys. B **74**(2), 151 (2002).
8. A. J. Kenyon, C. E. Chryssou, C. W. Pitt et al., J. Appl. Phys. **91**, 367 (2002).
9. K. Watanabe, M. Fujii, and S. Hayashi, J. Appl. Phys. **90**, 4761 (2001).
10. M. Schmidt, M. Zacharias, S. Richter et al., Thin Sol. Films **397**, 211 (2001).
11. M. Zacharias, J. Heitmann, R. Shcholz et al., Appl. Phys. Lett. **80**, 661 (2002).
12. D. J. Lokwood, Z. H. Liu, and J. M. Baribeau, Phys. Rev. Lett. **76**, 539 (1996).
13. A. G. Cullis, L. T. Canham, and P. D. J. Calcott, J. Appl. Phys. **82**, 909 (1997).
14. A. Polman, J. Appl. Phys. **82**, 1 (1997).
15. J. Valenta, R. Juhasz, and J. Linnros, Appl. Phys. Lett. **80**, 1070 (2002).
16. В. М. Агранович, М. Д. Галанин, *Перенос энергии электронного возбуждения в конденсированных средах*, Наука, Москва (1978).